

01;04;05

Поведение электронной плазмы в тонкой металлической пластине в переменном электрическом поле

© С.В. Березкина, И.А. Кузнецова, А.А. Юшканов

Ярославский государственный университет им. П.Г. Демидова,
150000 Ярославль, Россия
e-mail: kuz@uniyar.ac.ru

(Поступило в Редакцию 23 августа 2005 г.)

В рамках кинетической теории исследован отклик электронной плазмы в тонком металлическом слое на внешнее поперечное к поверхности переменное электрическое поле. Рассчитана поглощаемая на единицу площади мощность излучения. Рассмотрены частоты электрического поля, малые по сравнению с плазменной частотой. Предполагается, что рассеяние электронов на поверхности металла носит чисто диффузный характер.

PACS: 71.10.-w, 52.20.-j

Кинетические явления в тонких металлических слоях или малых проводящих частицах при наличии внешних электромагнитных полей вызывают большой интерес как с теоретической точки зрения, так и в связи с широкими возможностями практического применения [1–6]. Кинетическое описание отклика электронов в тонком слое металла на внешнее электромагнитное излучение необходимо в ряде задач микроэлектроники, поскольку развитие современных технологий приводит к уменьшению характерных размеров деталей микроэлектронных устройств, и рассматриваемые пленки становятся субмикронной толщины.

Исследование кинетических процессов необходимо и в задачах о взаимодействии электромагнитного излучения с аэрозольными системами, состоящими из мелких частиц (сферических, плоских и т.д.), которые используются для экранировки электромагнитного излучения. Когда толщина пленок или размеры частиц становятся субмикронными, обычное макроскопическое описание отклика электронной плазмы металла на переменное (периодическое) электрическое поле становится неадекватным [2,7]. Проблема осложняется тем, что кинетический отклик электронов на внешнее электромагнитное поле приводит к обратному воздействию на это поле; таким образом, требуется решать самосогласованную задачу о поведении электронов и характере изменения (затухания) электромагнитного поля в металле. Следует отметить, что в случае, когда отношение длины свободного пробега электронов к другим характерным размерам задачи (толщине слоя металла и т.д.) становится порядка единицы, взаимодействие носителей заряда с границей образца оказывает значительное влияние на электромагнитные и оптические свойства металла.

В данной работе рассмотрен отклик электронов проводимости в тонком слое металла (плоской частице) на внешнее переменное нормальное к поверхности электрическое поле при заданных соотношениях между толщиной слоя, длиной свободного пробега электронов

и дебаевским радиусом экранирования. Отметим, что задача о поведении электронной плазмы, занимающей полупространство, во внешнем переменном поперечном электрическом поле была впервые аналитически решена Ландау [8] для чисто зеркального отражения электронов от границы образца. Общий случай граничных условий был рассмотрен в [7]. Подобная задача о поведении плазмы в ограниченном объеме (тонком слое) была решена аналитически с помощью метода Кейза в [5] для чисто зеркальных граничных условий. В настоящей работе данная задача решается для случая диффузного рассеяния носителей заряда на поверхности пластины.

Постановка задачи

Рассмотрим плоскую металлическую пластину в поперечном (перпендикулярном поверхности) переменном электрическом поле

$$E = E_0 e^{(-i\omega t)}. \quad (1)$$

Предположим, что толщина пластины $2a_0$ много меньше характерного продольного размера, при выполнении этого условия пластину можно считать бесконечной.

В настоящей работе исследуется отклик электронов в металле на внешнее переменное электрическое поле (1), поведение электрического поля внутри слоя, а также определяется поглощаемая мощность излучения. Отношение длины свободного пробега электронов λ к толщине пластины $2a_0$ считается произвольным. Рассматривается случай, когда частота внешнего поля много меньше частоты плазменного резонанса

$$\omega^2 \ll \omega_r^2 = 4\pi e^2 n / m, \quad (2)$$

где e и m — заряд и эффективная масса электрона соответственно, n — концентрация электронов проводимости, ω_r^2 — плазменная частота (в металлах имеет характерное значение 10^{16} s^{-1}).

Введем декартову систему координат с центром в середине слоя металла. Ось x направим перпендикулярно поверхности слоя. Внешнее электрическое поле будем считать достаточно слабым для возможности применения линейного приближения. Функцию распределения $f(\mathbf{r}; \mathbf{v})$ будем искать в виде

$$f(\mathbf{r}, \mathbf{v}) = f_0(\varepsilon) + f_1(\mathbf{r}, \mathbf{v}), \quad (3)$$

где f_1 — поправка к функции распределения Ферми f_0 ;

$$f_0 = \frac{1}{\exp((\varepsilon - \varepsilon_F)/k_0T) + 1}, \quad (4)$$

где $\varepsilon_F = mv_F^2/2$ — энергия Ферми, ε — кинетическая энергия электронов (поверхность Ферми будем считать сферической).

При этом функцию f_1 можно представить в виде [9–11]

$$f_1 = -\frac{\partial f_0}{\partial \varepsilon} \psi \exp(-i\omega t). \quad (5)$$

Будем считать, что температура пластины T много меньше температуры вырождения электронного газа T_F , т.е. $k_0T \ll \varepsilon_F$. Тогда электроны проводимости можно рассматривать как почти идеальный вырожденный ферми-газ, а производную функции распределения Ферми f_0 по энергии ε представить в следующем виде:

$$\frac{\partial f_0}{\partial \varepsilon} = -\delta(\varepsilon - \varepsilon_F), \quad (6)$$

где $\delta(x)$ — дельта-функция Дирака. В данном случае функция ψ зависит от координаты x и скорости электронов \mathbf{v} . При этом она удовлетворяет уравнению [9–11]

$$-i\omega\psi + v_x \frac{\partial \psi}{\partial x} = ev_x E - v(\psi - g\bar{\psi}). \quad (7)$$

Здесь $\bar{\psi}$ — избыточная (по сравнению с равновесной) концентрация электронов, т.е. плотность заряда

$$\bar{\psi} = 2 \int \frac{d^3(m\mathbf{v})}{h^3} (f - f_0), \quad (8)$$

ν — эффективная частота столкновений, $g = h^3/(8\pi m^2 v_F)$. Электрическое поле удовлетворяет следующему уравнению [12]:

$$\frac{dE}{dx} = 4\pi e\bar{\psi}. \quad (9)$$

Компоненту скорости v_x можно представить в виде: $v_x = v_F \cos \theta$ (6), где θ — угол между вектором скорости \mathbf{v} и осью x , поэтому удобно ввести переменную $\eta = \cos \theta$, изменяющуюся от -1 до 1 . Перейдем также к следующим безразмерным параметрам:

$$x' = x/a_0, \quad y_0 = a_0\omega/v_F, \quad x_0 = a_0\nu/v_F,$$

$$k^2 = \frac{6\pi e^2 a_0^2 n}{\varepsilon_F}, \quad \tilde{E} = E/E_0.$$

Здесь параметр k имеет вид $k = a_0^2/r_D^2$, где r_D — радиус Дебая [10]. Вместо ψ введем функцию φ

$$\varphi(x; \eta) = \psi/(ea_0E_0).$$

В дальнейшем штрих у переменной x' будем опускать. Функции φ и \tilde{E} удовлетворяют следующей системе уравнений:

$$\begin{cases} -iy_0\varphi + \eta \frac{\partial \varphi}{\partial x} = \eta\tilde{E} - x_0(\varphi - \bar{\varphi}), \\ \frac{d\tilde{E}}{dx} = k^2\bar{\varphi}. \end{cases} \quad (10)$$

Здесь

$$\bar{\varphi} = \frac{1}{2} \int_{-1}^1 \varphi(x; \eta) d\eta. \quad (11)$$

Для однозначного определения неравновесной функции распределения φ необходимо задать для нее граничные условия на поверхности металлической пластины. В [5] в качестве таковых принимались условия чисто зеркального рассеяния электронов. В настоящей работе рассмотрим случай диффузного рассеяния электронов на поверхности металла. Отметим, что ввиду симметрии задачи справедливы соотношения

$$\tilde{E}(-x) = \tilde{E}(x),$$

$$\varphi(-x, -\eta) = -\varphi(x, \eta).$$

Тогда граничные условия для функции распределения $\varphi(x; \eta)$ при $x = \pm 1$ принимают следующий вид:

$$\varphi(+1; \eta < 0) = -C_1;$$

$$\varphi(-1; \eta > 0) = C_1, \quad (12)$$

где C_1 — произвольная константа. Граничные условия для поля $\tilde{E}(x)$ имеют вид

$$\tilde{E}(\pm 1) = 1. \quad (13)$$

Метод решения и математические расчеты

Решение второго уравнения системы (10) для поля $\tilde{E}(x)$ с учетом граничных условий (13) имеет вид

$$\tilde{E}(x) = 1 + k^2 \int_{-1}^x \bar{\varphi}(s) ds. \quad (14)$$

Преобразуем первое уравнение системы (10)

$$z_0\varphi + \eta \frac{\partial \varphi}{\partial x} = \Phi(x), \quad (15)$$

где $\Phi(x) = \eta\tilde{E}(x) + x_0\bar{\varphi}(x)$ и $z_0 = x_0 - iy_0$. Решение однородного уравнения

$$z_0\varphi + \eta \frac{\partial \varphi}{\partial x} = 0 \quad (16)$$

представим в виде

$$\varphi(x; \eta) = C_1 e^{-\frac{z_0(x+1)}{\eta}} \xi(\eta) - C_1 e^{-\frac{z_0(x-1)}{\eta}} \xi(-\eta), \quad (17)$$

$$\xi(\eta) = 0.5(\text{sign}(\eta) + 1),$$

где функция $\text{sign}(\eta)$ определена следующим образом:

$$\text{sign}(\eta) = \begin{cases} -1 & \text{при } \eta < 0, \\ 0 & \text{при } \eta = 0, \\ -1 & \text{при } \eta > 0. \end{cases}$$

Решением неоднородного уравнения (15), удовлетворяющим граничным условиям (12), является следующее выражение:

$$\begin{aligned} \varphi(x; \eta) = & C_1 e^{-\frac{z_0}{\eta}(x+1)} \xi(\eta) \\ & + \eta^{-1} \int_{-1}^x \Phi(s) e^{\frac{z_0}{\eta}(s-x)} ds \xi(\eta) - C_1 e^{-\frac{z_0}{\eta}(x-1)} \xi(-\eta) \\ & - \eta^{-1} \int_x^1 \Phi(s) e^{\frac{z_0}{\eta}(s-x)} ds \xi(-\eta). \end{aligned} \quad (18)$$

Константа C_1 находится из условия непротекания (равенства нулю тока) на границе $x = 1$ (или $x = -1$)

$$\int_{-1}^1 \varphi(1; \eta) \eta d\eta = 0, \quad (19)$$

которое с учетом граничных условий (12) преобразуется к виду

$$C_1 = -2 \int_0^1 \varphi(1; \eta) \eta d\eta. \quad (20)$$

Подставив в (20) функцию $\varphi(x = 1; \eta)$ (18), для C_1 получим следующее выражение:

$$\begin{aligned} C_1 = & -\frac{2}{B} \left[\frac{1}{z_0} \int_0^1 \eta^2 e^{-\frac{z_0}{\eta}} d\eta - \frac{1}{3z_0} \right. \\ & \left. + \int_0^1 \int_{-1}^1 \left(\eta k^2 \int_{-1}^s \bar{\varphi}(t) dt + x_0 \bar{\varphi}(s) \right) e^{\frac{z_0(s-1)}{\eta}} ds d\eta \right], \end{aligned} \quad (21)$$

где

$$B = 1 + 2 \int_0^1 e^{-2\frac{z_0}{\eta}} \eta d\eta.$$

Функцию распределения $\varphi(x; \eta)$ (18) подставим в уравнение (11) и преобразуем его к виду

$$\begin{aligned} \bar{\varphi}(x) = & \frac{C_1}{2} \int_0^1 e^{-\frac{z_0}{\eta}(x+1)} d\eta \\ & + \frac{1}{2} \int_0^1 \int_{-1}^x \eta^{-1} \Phi(s) e^{\frac{z_0}{\eta}(s-x)} ds d\eta \\ & - \frac{C_1}{2} \int_{-1}^0 e^{-\frac{z_0}{\eta}(x-1)} d\eta \\ & - \frac{1}{2} \int_{-1}^0 \int_x^1 \eta^{-1} \Phi(s) e^{\frac{z_0}{\eta}(s-x)} ds d\eta, \end{aligned} \quad (22)$$

где $\Phi(s) = \eta + \eta k^2 \int_{-1}^s \bar{\varphi}(t) dt + x_0 \bar{\varphi}(s)$ (14–15), а константа C_1 определена выражением (21).

Таким образом, решение системы уравнений (10) сводится к решению интегрального уравнения (22) для функции $\bar{\varphi}$. Точного решения уравнения (22) получить не удастся, поэтому для нахождения приближенного решения воспользуемся методом Галеркина [13,14].

Одно из частных решений системы (10) имеет вид [5]

$$\varphi = \text{sh} \left(\frac{z_0 x}{t_0} \right) F(\eta). \quad (23)$$

Это решение удовлетворяет кинетическому уравнению, но не удовлетворяет граничным условиям (12).

Решению (23) соответствует следующее распределение плотности заряда:

$$\bar{\varphi} = A \text{sh} \left(\frac{z_0 x}{t_0} \right), \quad (24)$$

где A — неизвестная константа, а параметр t_0 является решением дисперсионного уравнения [5]

$$h(t) \equiv \frac{c^2}{t} - \frac{1}{2} t \int_{-1}^1 \frac{\eta^2 - ac}{\eta^2 - t^2} d\eta = 0. \quad (25)$$

Здесь введены следующие обозначения: $a = x_0/k$, $c = z_0/k$, $|c| = |a - ib|$, где $b = y_0/k$. Отметим, что в статическом пределе ($c = a$) корень дисперсионного уравнения (25) ($t_0^2 = a^2$) дает экранирующее решение [5].

С учетом вышесказанного „пробную“ функцию в методе Галеркина берем в том же виде (24). Подставив в (21) „пробную“ функцию (24), получим следующее выражение для C_1 :

$$C_1 = 2C_2 + 2AC_3, \quad (26)$$

$$C_2 = B^{-1} z_0^{-1} \left(\int_0^1 \eta^2 e^{-\frac{2z_0}{\eta}} d\eta - \frac{1}{3} \right),$$

$$C_3 = B^{-1} \frac{t_0}{z_0} \int_0^1 \frac{\eta}{\eta^2 - t_0^2} \times \left[- (t_0 x_0 z_0 + t_0 \eta^2 k^2) \operatorname{sh} \left(\frac{z_0}{t_0} \right) e^{-\frac{2z_0}{\eta}} + (\eta^2 k^2 - x_0 z_0) \left(\eta \operatorname{ch} \left(\frac{z_0}{t_0} \right) + t_0 \operatorname{sh} \left(\frac{z_0}{t_0} \right) - \eta \operatorname{sh} \left(\frac{z_0}{t_0} \right) e^{-\frac{2z_0}{\eta}} \right) \right] d\eta.$$

В соответствии с методом Галеркина „пробную“ функцию (24) подставим в (22), домножим полученное уравнение на базисную функцию $\operatorname{sh} \left(\frac{z_0 x}{t_0} \right)$ и проинтегрируем каждое слагаемое по x в пределах от -1 до 1 . Таким образом получим уравнение для неизвестной константы A , решение которого имеет следующий вид:

$$A = \frac{C_2 I_1 + I_2}{I_0 - C_3 I_1 - I_3}, \quad (27)$$

$$I_0 = \int_{-1}^1 \left[\operatorname{sh} \left(\frac{z_0 x}{t_0} \right) \right]^2 dx = \frac{1}{2z_0} \left[t_0 \operatorname{sh} \left(\frac{2z_0}{t_0} \right) - 2z_0 \right],$$

$$I_1 = \int_{-1}^1 \int_0^1 e^{-\frac{z_0(x+1)}{\eta}} \operatorname{sh} \left(\frac{z_0 x}{t_0} \right) d\eta dx = \frac{t_0}{z_0} \int_0^1 \frac{\eta}{\eta^2 - t_0^2} \left[\eta \operatorname{ch} \left(\frac{z_0}{t_0} \right) \left(e^{-\frac{2z_0}{\eta}} - 1 \right) + t_0 \operatorname{sh} \left(\frac{z_0}{t_0} \right) \left(e^{-\frac{2z_0}{\eta}} + 1 \right) \right] d\eta.$$

$$I_2 = \frac{1}{2} \int_{-1}^1 \int_0^1 \int_{-1}^x \operatorname{sh} \left(\frac{z_0 x}{t_0} \right) e^{-\frac{z_0(s-x)}{\eta}} ds d\eta dx = -\frac{t_0 e^{-\frac{z_0}{\eta}}}{2z_0^2} \int_0^1 \frac{\eta^2}{\eta^2 - t_0^2} \left[(t_0 + \eta) \left(e^{2\frac{z_0}{\eta}} - e^{2\frac{z_0}{\eta}} - e^{2\frac{z_0(\eta+t_0)}{\eta}} \right) - (t_0 - \eta) \right] d\eta.$$

$$I_3 = \frac{1}{2} \int_{-1}^1 \int_0^1 \left[\int_{-1}^x \left(k^2 \int_{-1}^s \operatorname{sh} \left(\frac{z_0 t}{t_0} \right) dt + \eta^{-1} x_0 \operatorname{sh} \left(\frac{z_0 s}{t_0} \right) e^{\frac{z_0(s-x)}{\eta}} \right) \operatorname{sh} \left(\frac{z_0 x}{t_0} \right) d\eta dx = -\frac{1}{2} \int_0^1 \left(\frac{k^2 \eta^2}{4z_0^2 (4\eta^2 - t_0^2)} \left[\left(e^{-2\frac{z_0}{\eta}} - 1 \right) \times \left(2t_0^2 \eta \operatorname{ch} \left(\frac{2z_0}{t_0} \right) + 8\eta^3 \right) + 2t_0^2 \eta \operatorname{sh} \left(\frac{2z_0}{t_0} \right) \times \left(2\eta^2 e^{-\frac{2z_0}{\eta}} - 2\eta + t_0^2 \right) + 4z_0 (4\eta^2 - t_0^2) - 2t_0^2 \eta \left(1 + e^{-\frac{2z_0}{\eta}} \right) \right] + \frac{t_0^2 \eta x_0}{z_0^2 (\eta^2 - t_0^2)^2} \times \left[(\eta^2 + t_0^2) \left(\operatorname{ch} \left(\frac{2z_0}{t_0} \right) \left(e^{\frac{2z_0}{\eta}} + 2e^{-\frac{z_0}{\eta}} + 4 \right) - 4 \right) + 4t_0 \eta \left(\operatorname{ch} \left(\frac{2z_0(\eta - t_0)}{t_0 \eta} \right) - \operatorname{ch} \left(\frac{-2z_0(\eta + t_0)}{t_0 \eta} \right) \right) - 2 \left(\eta^2 \operatorname{ch} \left(\frac{2z_0}{t_0} \right) + t_0^2 \operatorname{ch} \left(\frac{-2z_0}{\eta} \right) \right) \right] \right] d\eta,$$

здесь x_0, y_0, k — заданные параметры.

Электрическое поле $\tilde{E}(x)$ (14), (24) принимает вид

$$\tilde{E}(x) = 1 + \frac{k^2 t_0 A}{z_0} \left(\operatorname{ch} \left(\frac{x z_0}{t_0} \right) - \operatorname{ch} \left(\frac{z_0}{t_0} \right) \right). \quad (28)$$

Найдем безразмерную плотность тока

$$j(x) = \frac{1}{2} \int_{-1}^1 \eta \varphi(x; \eta) d\eta. \quad (29)$$

Используя выражения (18), (26), запишем (29) в виде

$$j(x) = \frac{1}{2} (J_1(x) + J_2(x) - J_3(x) - J_4(x)), \quad (30)$$

где

$$J_1(x) = C_1 \int_0^1 \eta e^{-\frac{z_0(x+1)}{\eta}} d\eta,$$

$$J_2(x) = \int_0^1 \eta e^{-\frac{z_0(x-1)}{\eta}} [G_1(x; \eta) + G_2(x; \eta)] d\eta,$$

$$J_3(x) = C_1 \int_{-1}^0 \eta e^{-\frac{z_0(x-1)}{\eta}} d\eta,$$

$$J_4(x) = \int_{-1}^0 \eta e^{-\frac{z_0(x-1)}{\eta}} [G_3(x; \eta) + G_4(x; \eta)] d\eta,$$

$$\begin{aligned}
 G_1(x; \eta) &= \int_{-1}^x e^{\frac{z_0(s-1)}{\eta}} ds = \frac{\eta}{z_0} \left(e^{\frac{z_0(x-1)}{\eta}} - e^{-2\frac{z_0}{\eta}} \right), \\
 G_2(x; \eta) &= \int_{-1}^x \left[k^2 \int_{-1}^s \operatorname{sh} \left(\frac{z_0 t}{t_0} \right) dt \right. \\
 &+ \eta^{-1} x_0 \operatorname{sh} \left(\frac{z_0 s}{t_0} \right) \left. \right] e^{\frac{z_0(s-1)}{\eta}} ds = \frac{t_0}{z_0^2 (\eta^2 - t_0^2)} \\
 &\times \left[e^{-\frac{z_0(x+1)}{\eta}} (k^2 \eta^2 - x_0 z_0) \left(\eta \operatorname{ch} \left(\frac{z_0}{t_0} \right) - t_0 \operatorname{sh} \left(\frac{z_0}{t_0} \right) \right) \right. \\
 &+ (k^2 \eta^2 - x_0 z_0) \left(-\eta \operatorname{ch} \left(\frac{z_0 x}{t_0} \right) + t_0 \operatorname{sh} \left(\frac{z_0 x}{t_0} \right) \right) \\
 &+ k^2 \eta \operatorname{ch} \left(\frac{z_0}{t_0} \right) (\eta^2 + t_0^2) \left. \right], \\
 G_3(x; \eta) &= \int_x^1 e^{\frac{z_0(s-1)}{\eta}} ds = -\frac{\eta}{z_0} \left(e^{\frac{z_0(x-1)}{\eta}} - 1 \right), \\
 G_4(x; \eta) &= \int_x^1 \left[k^2 \int_{-1}^s \operatorname{sh} \left(\frac{z_0 t}{t_0} \right) dt \right. \\
 &+ \eta^{-1} x_0 \operatorname{sh} \left(\frac{z_0 s}{t_0} \right) \left. \right] e^{\frac{z_0(s-1)}{\eta}} ds = \frac{t_0}{z_0^2 (\eta^2 - t_0^2)} \\
 &\times \left[e^{\frac{z_0(x-1)}{\eta}} k^2 \eta^2 \left(\eta \operatorname{ch} \left(\frac{z_0}{t_0} \right) + t_0 \operatorname{sh} \left(\frac{z_0}{t_0} \right) \right) \right. \\
 &+ e^{\frac{z_0(1-x)}{\eta}} x_0 z_0 \left(\eta \operatorname{ch} \left(\frac{z_0}{t_0} \right) - t_0 \operatorname{sh} \left(\frac{z_0}{t_0} \right) \right) \\
 &+ k^2 \eta \operatorname{ch} \left(\frac{z_0}{t_0} \right) (\eta^2 - t_0^2) \\
 &+ k^2 \eta t_0 \left(\eta \operatorname{sh} \left(\frac{z_0 x}{t_0} \right) + t_0 \operatorname{ch} \left(\frac{z_0 x}{t_0} \right) \right) \\
 &+ x_0 z_0 \left(-\eta \operatorname{ch} \left(\frac{z_0 x}{t_0} \right) + t_0 \operatorname{sh} \left(\frac{z_0 x}{t_0} \right) \right) \left. \right].
 \end{aligned}$$

Поглощаемую на единицу площади пластины мощность электромагнитного излучения Q можно определить, используя соотношение (28), (30) и (31) [12]

$$Q = \frac{1}{2} \operatorname{Re} \int_{-1}^1 \tilde{E}(x) j(x) dx. \quad (31)$$

Предельные случаи

Предположим, что параметр $k = a_0^2 / r_D^2 \gg 1$. Рассмотрим низкочастотное приближение в том смысле, что $|c| = |a - ib| \ll 1$ ($a = x_0/k$, $b = y_0/k$). Соответствующие оценки показывают, что в этом случае корень

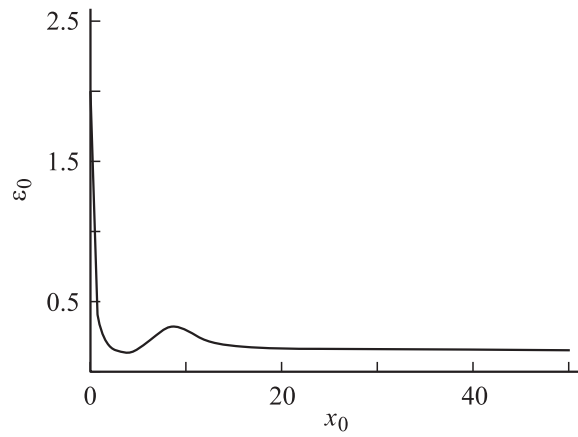


Рис. 1. Зависимость относительной погрешности $\varepsilon_D = |Q - Q_D|/Q_D$ от безразмерной обратной длины свободного пробега $x_0 = a_0/\lambda$ при $k = 10$ и безразмерной частоте внешнего поля $y_0 = 0.02$.

дисперсионного уравнения (25) $|t_0| \ll 1$, что позволяет существенно упростить (25) и привести его к виду

$$h(t) = \frac{c^2}{t} - t + \frac{\pi}{2} i(t^2 - ac). \quad (32)$$

Разложение решения уравнения (32) по малому параметру $|c| \ll 1$ имеет вид

$$t_0 = \left(1 + \frac{\pi}{4} a \right) c. \quad (33)$$

Поскольку в рассматриваемом случае a также малый параметр ($a \ll 1$), то в первом приближении по c получим $t_0 \approx c$. Тогда отношение $z_0/t_0 \approx k$, и „пробная“ функция представима в виде $\bar{\varphi} = A \operatorname{sh}(kx)$. При этом вычисление интегралов, входящих в (31), с учетом допущенных приближений, существенно упрощается.

В случае, когда длина свободного пробега электронов в металле значительно меньше толщины пластины ($x_0 \gg 1$), в низкочастотной области $y_0 \ll 1$ результаты расчетов поглощаемой на единицу площади пластины безразмерной мощности Q (31) согласуются с соответствующими результатами расчетов безразмерной мощности Q_D , следующими из макроскопической теории Друде: $Q_D = 3x_0 k^{-4} y_0^2$ [12]. На рис. 1 в качестве примера представлена зависимость относительной погрешности $\varepsilon_D = |Q - Q_D|/Q_D$ от безразмерной обратной длины свободного пробега x_0 при $k = 10$ и безразмерной частоте внешнего поля $y_0 = 0.02$. Из рис. 1 видно, что при $x_0 > 10$ относительная погрешность ε_D с увеличением x_0 монотонно уменьшается, составляя 17% при $x = 20$ и 15% при $x_0 = 50$.

В предельном случае $z_0 \rightarrow 0$ электрическое поле в объеме пластины определяется выражением

$$\tilde{E}(x) = 1 + \left(\frac{\operatorname{ch}(kx)}{\operatorname{ch}(k)} - 1 \right), \quad (34)$$

а поглощаемая на единицу площади пластины мощность излучения Q (31) стремится к нулю.

Обсуждение результатов

На рис. 2 приведен график зависимости безразмерного электрического поля $|\vec{E}| = |E/E_0|$ (E_0 — электрическое поле на поверхности) от безразмерной координаты $x' = x/a_0$. Из рис. 2 видно, что с увеличением безразмерной толщины слоя и соответственно параметра $k = a_0^2/r_D^2$ электрическое поле очень резко затухает и практически полностью экранируется пластиной.

На рис. 3 и 4 представлены графики зависимости поглощаемой на единицу площади пластины безразмерной мощности излучения Q от безразмерной частоты внешнего поля y_0 при различных значениях $x_0 = a_0/\lambda$, т.е. различном соотношении между толщиной пластины a_0 и длиной свободного пробега λ . Из графиков видно, что при малых значениях y_0 ($y_0 < 2$) зависимость $Q(y_0)$ при всех x_0 близка к квадратичной $Q \sim y_0^2$. При $x_0 \rightarrow 0$ (т.е. при отсутствии объемных столкнове-

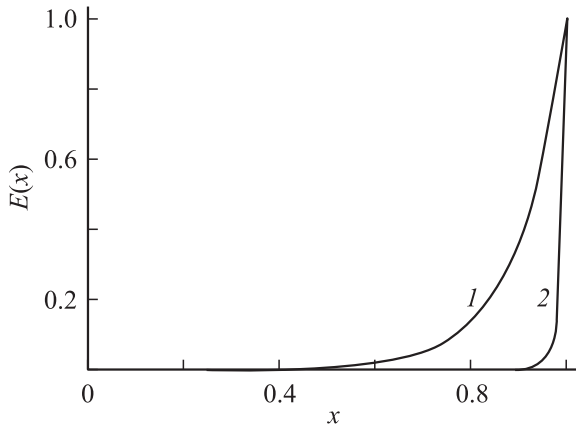


Рис. 2. Зависимость безразмерного электрического поля $|\vec{E}|$ от безразмерной координаты $x' = x/a_0$ (кривая 1 — $x_0 = 0.1$; $y_0 = 0.01$; $k = 10$; кривая 2 — $x_0 = 0.1$; $y_0 = 0.01$; $k = 100$).

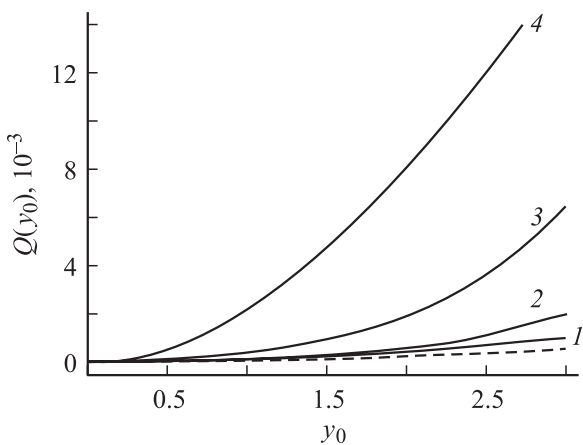


Рис. 3. Зависимости поглощаемой на единицу площади пластины безразмерной мощности излучения Q от безразмерной частоты внешнего поля y_0 при различных значениях $x_0 = a_0/\lambda$ и параметре $k = 10$ (кривые 1, 2, 3, 4 — $x_0 = 0.01$; 0.1; 1; 10 соответственно; штриховая кривая — $x_0 \rightarrow 0$).

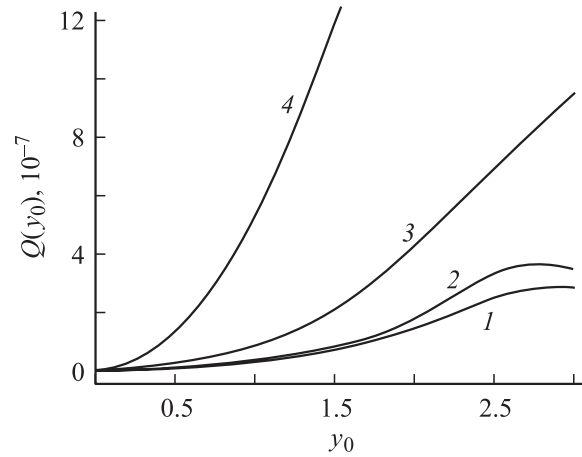


Рис. 4. Зависимости поглощаемой на единицу площади пластины безразмерной мощности излучения Q от безразмерной частоты внешнего поля y_0 при различных значениях $x_0 = a_0/\lambda$ и параметре $k = 100$ (кривые 1, 2, 3, 4 — $x_0 = 0.01$; 0.1; 1; 10 соответственно).

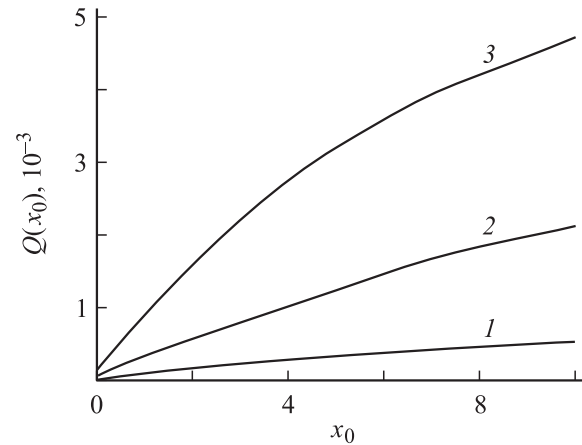


Рис. 5. Зависимости поглощаемой на единицу площади пластины безразмерной мощности излучения Q от безразмерной обратной длины свободного пробега $x_0 = a_0/\lambda$ при параметре $k = 10$ для различных значений безразмерной частоты внешнего поля y_0 (кривые 1, 2, 3 — $y_0 = 0.5$; 1; 1.5 соответственно).

ний электронов, когда имеется только их поверхностное рассеяние) квадратичный характер зависимости $Q(y_0)$ сохраняется (рис. 3, штриховая кривая). Из рис. 4 видно, что при малых значениях x_0 (кривые 1 и 2) и частотах внешнего поля $y_0 \geq 2$ характер зависимости $Q(y_0)$ существенно меняется. Причина такого поведения кривых 1 и 2 состоит в том, что время пролета электрона между пластинами при значениях y_0 , отвечающих максимуму кривых, соответствует периоду изменения электрического поля внутри слоя. При этом электрон в своем движении попеременно то ускоряется, то замедляется. Соответственно уменьшаются средняя энергия, приобретаемая электроном, и поглощаемая мощность.

На рис. 5 построены зависимости $Q(x_0)$ при различных значениях y_0 . Из графиков видно, что при заданной безразмерной частоте внешнего поля y_0 поглощаемая на единицу площади мощность Q возрастает с увеличением x_0 (уменьшением длины свободного пробега λ), т. е. рост диссипации энергии электрического поля связан с увеличением частоты объемных столкновений электронов.

Список литературы

- [1] *Морохов И.Д., Петин В.И., Трусов Л.И., Петрунин В.Ф.* // УФН. 1981. Т. 133. С. 653–692.
- [2] *Лесскис А.Г., Пастернак В.Е., Юшканов А.А.* // ЖЭТФ. 1982. Т. 83. Вып. 1 (7). С. 310–317.
- [3] *Томчук П.М., Томчук Б.П.* // ЖЭТФ. 1997. Т. 112. Вып. 2 (8). С. 661–678.
- [4] *Завитаев Э.В., Юшканов А.А., Яламов Ю.И.* // ЖТФ. 2001. Т. 71. Вып. 11. С. 114–118.
- [5] *Латышев А.В., Лесскис А.Г., Юшканов А.А.* // Теорет. и матем. физика. 1992. Т. 90. № 2. С. 179–189.
- [6] *Березкина С.В., Кузнецова И.А., Юшканов А.А.* // ЖТФ. 2004. Т. 74. Вып. 12. С. 67–71.
- [7] *Forsmann F., Steschke H.* // Phys. Rev. Lett. 1977. Vol. 38. N 23. P. 1365–1368.
- [8] *Ландау Л.Д.* Сборник трудов. М.: Наука, 1969. Т. 1. 512 с.
- [9] *Лифшиц Е.М., Питаевский Л.П.* Физическая кинетика. Теор. физика. Т. 10. М.: Наука, 1979. 527 с.
- [10] *Займан Дж.* Электроны и фононы. М.: ИЛ, 1962. 488 с.
- [11] *Лифшиц Е.М., Азбель М.Я., Каганов М.И.* Электронная теория металлов. М.: Наука, 1971.
- [12] *Ландау Л.Д., Лифшиц Е.М.* Теор. физика. Электродинамика сплошных сред. Т. 8. М.: Наука, 1992. 735 с.
- [13] *Куцман Ж.* Численные методы. М.: Наука, 1979. 159 с.
- [14] *Волков Е.А.* Численные методы. М.: Наука, 1982. 254 с.